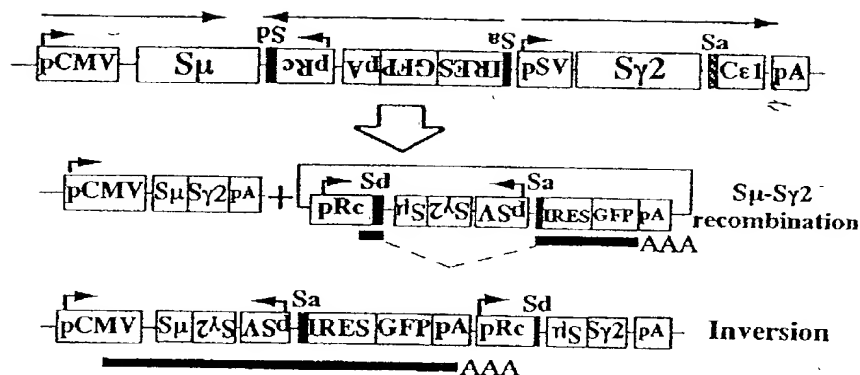


A



B

		% of GFP positive cells			
		Med	IL-4	CD40	IL-4+CD40
XF-1		0.5±0.2	1.0±0.3	1.9±0.2	2.7 ± 0.3 (3)
XF-5a		0.7±0.2	2.8±0.4	3.2±0.3	54.3 ± 5.4 (4)
XF-8		0.3±0.1	0.3±0.2	1.5±0.2	7.6 ± 2.3 (8)
XF-2b		0.8±0.3	0.9±0.2	2.8±0.3	3.1 ± 0.6 (4)
XF-2a		0.7±0.2	1.2±0.3	3.2±0.2	3.6 ± 0.7 (3)
XF-6a		0.9±0.3	2.9±0.3	3.8±0.5	28.6 ± 4.2 (4)
XF-6b		0.6±0.2	0.8±0.2	1.2±0.2	3.7 ± 0.7 (3)
XA-1					

FIGURE 1

XA-1 control

Medium: SSC vs FSC, 37.4% (bottom left gate)

IL-4+CD40: SSC vs FSC, 4.1% (bottom left gate), 0.1% (bottom right gate), 0.1% (top left gate), 0.1% (top right gate)

IL-4+CD40: SSC vs GFP, 99.94% (left), 0.06% (right)

XF-1

Medium: 99.82% (left), 0.38% (right)

IL-4: 98.97% (left), 1.03% (right)

CD40 mAb: 98.01% (left), 1.99% (right)

IL-4+CD40: 97.43% (left), 2.57% (right)

XF-5a.1

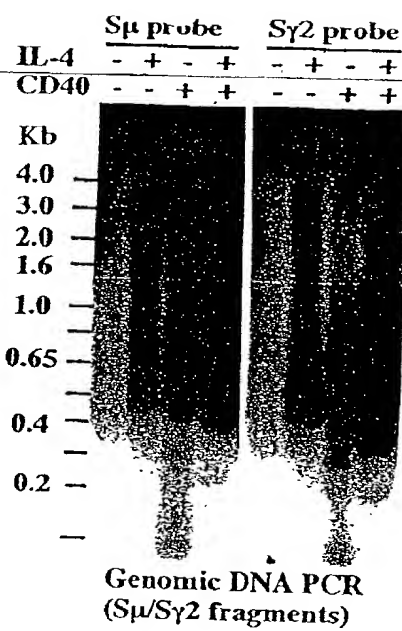
Medium: 99.35% (left), 0.65% (right)

IL-4: 97.06% (left), 2.94% (right)

CD40 mAb: 96.75% (left), 3.25% (right)

IL-4+CD40: 41.15% (left), 58.85% (right)

A



B



C

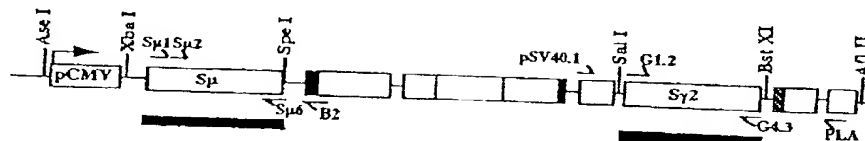


FIGURE 3

A

Sμ	TGGGCTGAGCTGGGCTGGGCTGGGCTGGGCTGAGCGGGTC 577	Sμ	TTGAACTGGGTTGAGCTGAGCTGAGCTGAGCTGGGCTAAG 452
15-15		16-16	
Sγ2	TGGGCTGAGCTGGGCTGGTGAAGGCAGGACGAGCAGGGG	Sγ2	TTGAACTGGGTTGAGCTGAGCAGAGCAGAGGCCACTGAGG
Sγ2	CAGCCACAGGTGAGCAGGCCGTGAGCAG-ACGAGCAGGGA 2292	Sγ2	CGTTCACGGAGCTGACCCAGCAGAGCAGAGGCCACTGAGG 1263
Sμ	CTAACAGGCTGAACTGGGCTGAGCTGAGCTGAACTGGGCT 409	Sμ	TGGGCTGGGCTGAGC-GGTCTAGCGGGCTGAGCTGAGCTG 597
41-44		41-27	
Sγ2	CTAACAGGCTGAACTGGGCTGGCAGGAGCTGGGTAGTTGC	Sγ2	TGGGCTGGGCTGAGCGGGTCAGCCTCCTGGTGCCGGGAAG
Sγ2	TCACTCAGCTCCTAGATTTTGGCAGGAGCTGGGTAGTTGC 2454	Sγ2	GGCTGGTGAAAGTGCACTGCAGCCTCCTGGTGCCAGGAAG 2512

B

Sγ2	AGCGAGCTGACCCAGCAGAGCAGAGGCCACTGAGGAGCTG 1310	Sγ2	CAGGAGGGTGGAAAGCCAAGCAGCCAGAGCCAGAGGCAGG 1061
38-41		38-45	
Sμ	AGCGAGCTGACCCAGCAGAGCTGAGCGGGGCCGAGCGGGG	Sμ	CAGGAGGGTGGAAAGCCAAGGTGAAGTGGGTGAGCTGGGC
Sμ	CTAGGCTGGGCTGGGCTGGGCTGAGCGGGGCTGAGC-GGG 817	Sμ	TGGGCTGGGCTGAGCTAAGCTGAAGTGGGTGAGCTGGGC 1455
Sγ2	CAGGGGAGGCACAGGGGCTAGGCTCAGAGCCACCTGATGG 1103	Sγ2	TCCAGGGAGGCCCCAGAAAGGCCCAGAGTGACAGCAGGCCTG 1237
39-42		38-48	
Sμ	CAGGGGAGGCACAGGGCTAGGACCTGGACTGGGCTGAGC	Sμ	TCCAGGGAGGCCCCAGAAAGGAACCTGGGCTGGGCTGAGCT
Sμ	TGGTTTGGGCTGAGTTGAGCTGACCTGGACTGGGCTGAGC 1506	Sμ	AGCCGAGGCTGGGCTGGGCTAACCTGGGCTGGGCTGAGCT 1396

C

Sμ	GCTGGGCTGGGCTGAGCTGGGCTGAGCTGGGCTGAGCAAG 638	Sμ	TGAGCTGAGCTGGGCTGGGCTGAGCTGGGCTGGGCTGGGC 562
40-43		40-45	
CD2	GCTGGGCTGAGCTGAGCTGGGCCCCACCAAAATCCAGCT	CD2	TGAGCTGAGCTGGGCTGGGCTTCGTCCCCCGCCTCCTGGA
CD2	TCATGAAGAAAGGGCCGGAAGCCCCACCAAAATCCAGCT 821	CD2	TCGTCCCAGGCACCTAGTCATCGTCCCCCGCCTCCTGGA 914

FIGURE 4

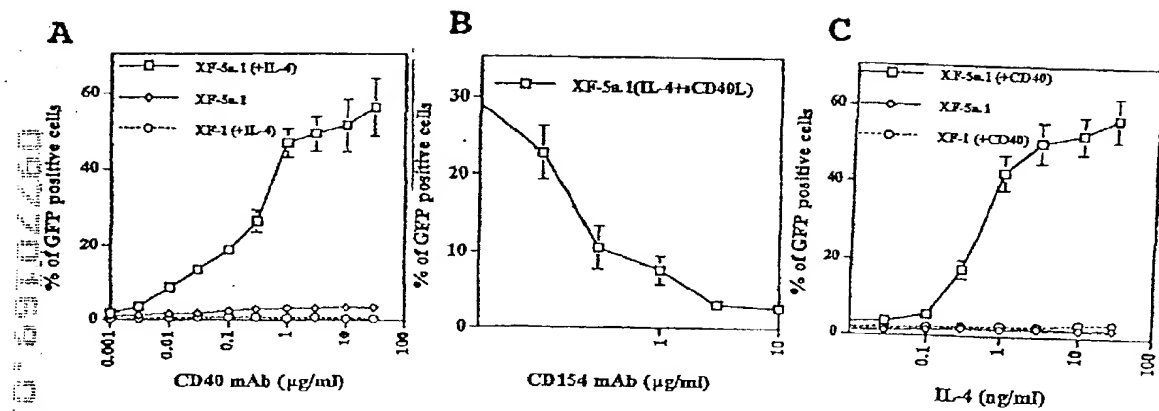


FIGURE 5

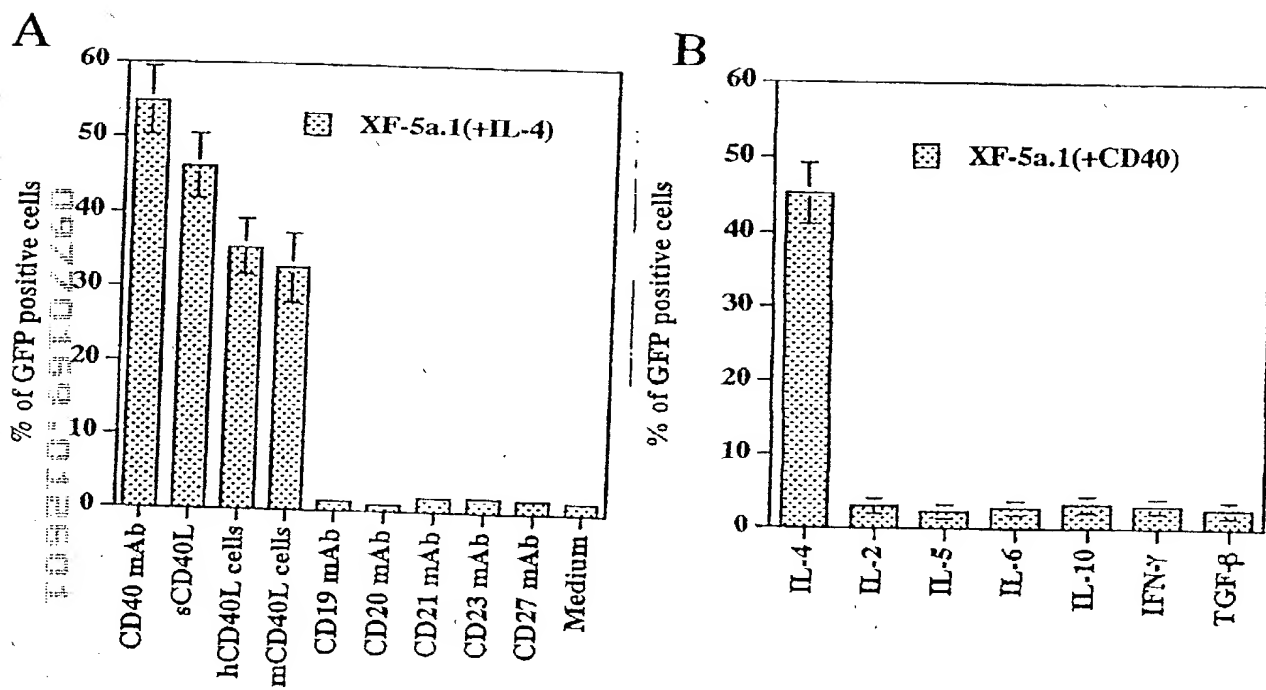


FIGURE 6

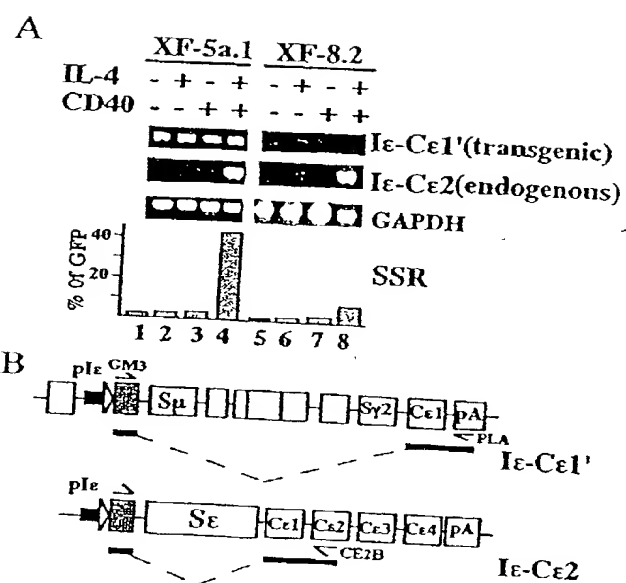


FIGURE 7

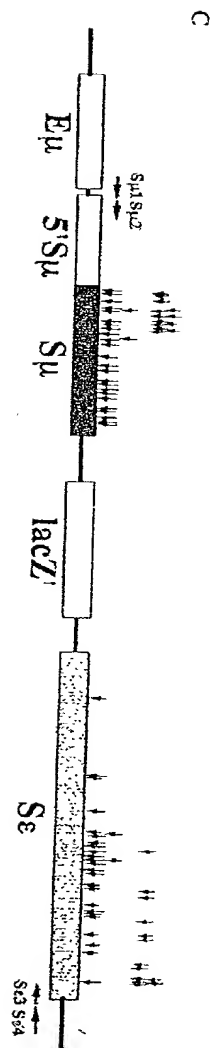


FIGURE 7
(CONTINUED)

00770169.012601

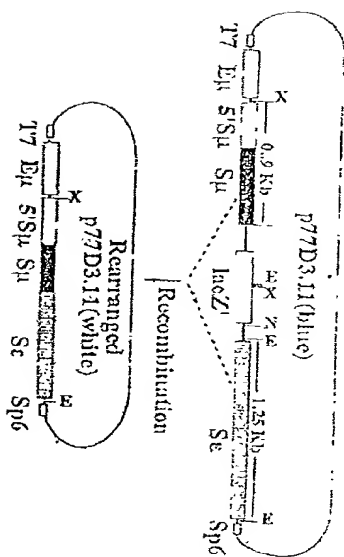


FIGURE 8

09770150.012601

FIGURE 9

Recombination models		Mapping fragments by XFL	Colony analyzed	Ratio (%)
X	Sp	3	269	87.6%
X	IncZ	1	ND	ND
X	St	1	ND	ND
X	IncZ	2	3	1.0%
X	St	2	3	1.0%
X	IncZ	3	3	1.0%
X	St	0	8	2.6%
X	IncZ	0	21	6.8%
X	St	0	21	6.8%
Total		307	100%	

0070459.012504

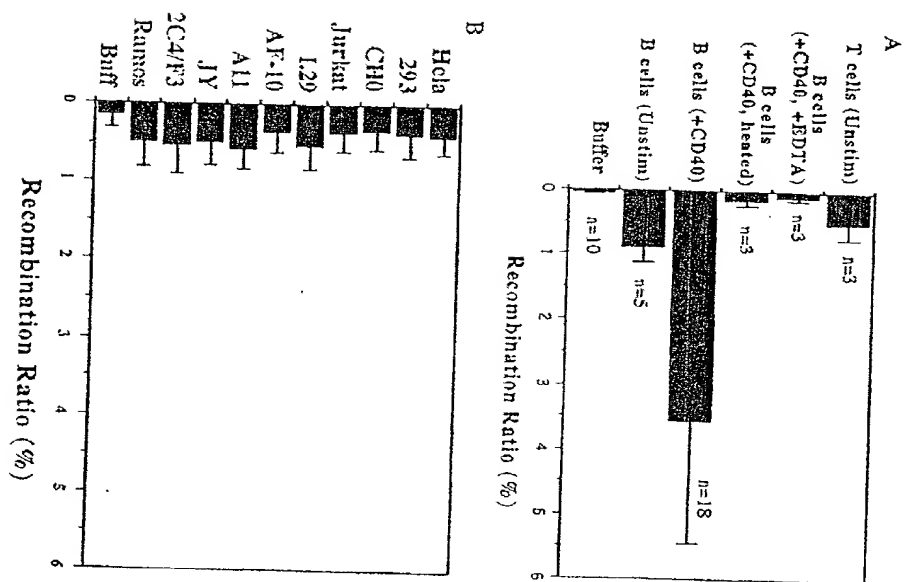


FIGURE 10

00770169-0125014

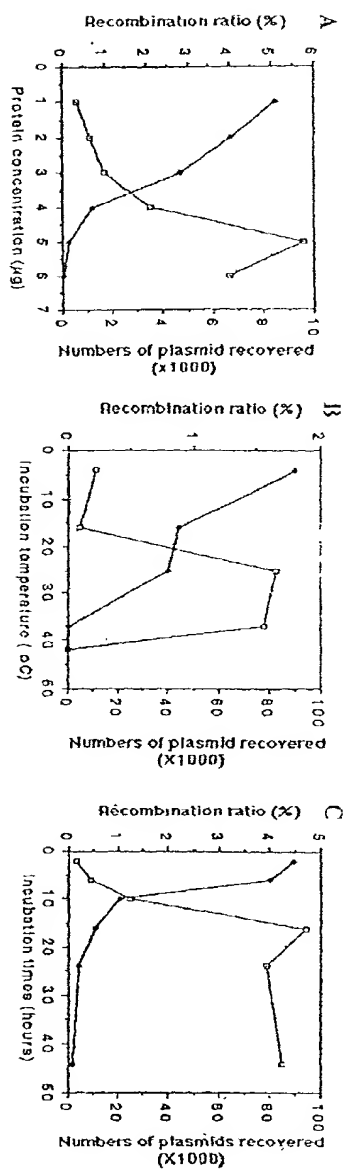
[illegible]

FIGURE 11

09770459.012601

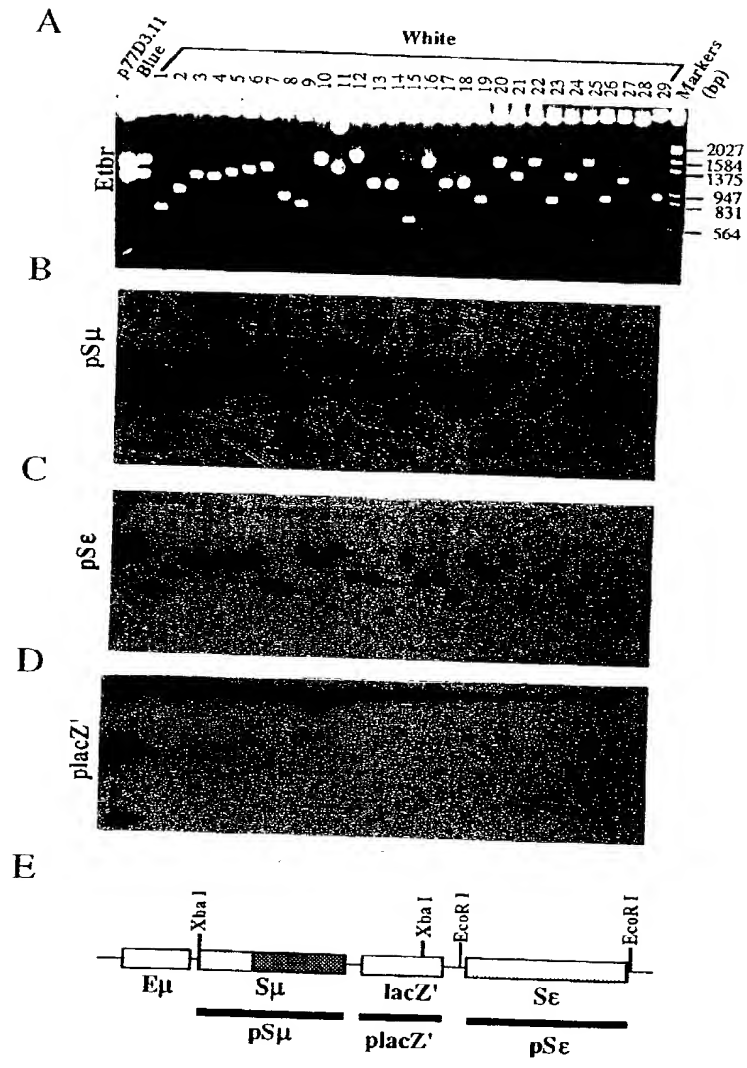


FIGURE 12

00770460-012601

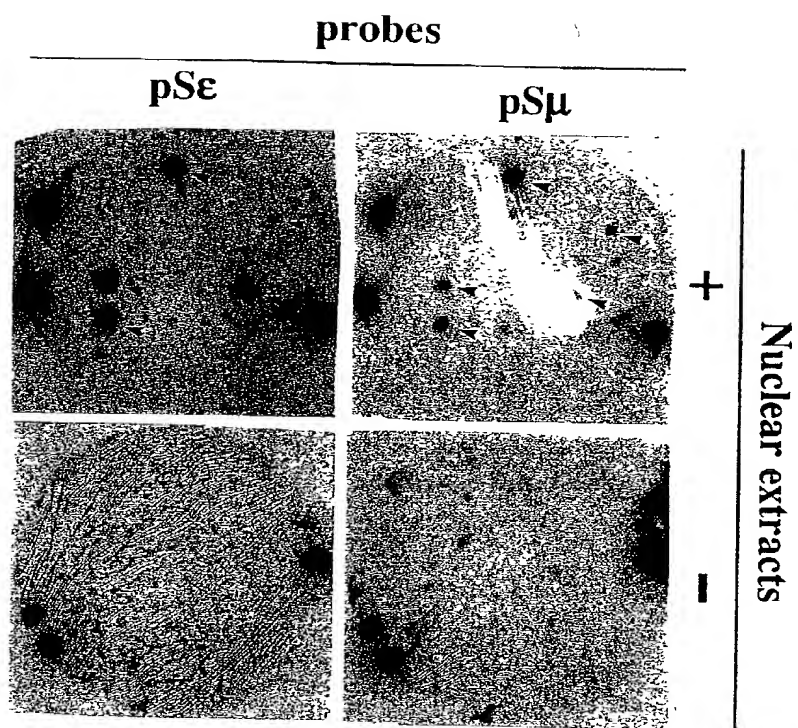


FIGURE 13

項目	単位	1980年	1981年	1982年	1983年	1984年	1985年	1986年	1987年	1988年	1989年	1990年	1991年	1992年	1993年	1994年	1995年	1996年	1997年	1998年	1999年	2000年	2001年	2002年	2003年	2004年	2005年	2006年	2007年	2008年	2009年	2010年	2011年	2012年	2013年	2014年	2015年	2016年	2017年	2018年	2019年	2020年	2021年	2022年	2023年	2024年	2025年	2026年	2027年	2028年	2029年	2030年	2031年	2032年	2033年	2034年	2035年	2036年	2037年	2038年	2039年	2040年	2041年	2042年	2043年	2044年	2045年	2046年	2047年	2048年	2049年	2050年	2051年	2052年	2053年	2054年	2055年	2056年	2057年	2058年	2059年	2060年	2061年	2062年	2063年	2064年	2065年	2066年	2067年	2068年	2069年	2070年	2071年	2072年	2073年	2074年	2075年	2076年	2077年	2078年	2079年	2080年	2081年	2082年	2083年	2084年	2085年	2086年	2087年	2088年	2089年	2090年	2091年	2092年	2093年	2094年	2095年	2096年	2097年	2098年	2099年	2100年																																																	
総人口	人	12,811,000	12,950,000	13,090,000	13,230,000	13,370,000	13,510,000	13,650,000	13,790,000	13,930,000	14,070,000	14,210,000	14,350,000	14,490,000	14,630,000	14,770,000	14,910,000	15,050,000	15,190,000	15,330,000	15,470,000	15,610,000	15,750,000	15,890,000	16,030,000	16,170,000	16,310,000	16,450,000	16,590,000	16,730,000	16,870,000	17,010,000	17,150,000	17,290,000	17,430,000	17,570,000	17,710,000	17,850,000	17,990,000	18,130,000	18,270,000	18,410,000	18,550,000	18,690,000	18,830,000	18,970,000	19,110,000	19,250,000	19,390,000	19,530,000	19,670,000	19,810,000	19,950,000	20,090,000	20,230,000	20,370,000	20,510,000	20,650,000	20,790,000	20,930,000	21,070,000	21,210,000	21,350,000	21,490,000	21,630,000	21,770,000	21,910,000	22,050,000	22,190,000	22,330,000	22,470,000	22,610,000	22,750,000	22,890,000	23,030,000	23,170,000	23,310,000	23,450,000	23,590,000	23,730,000	23,870,000	24,010,000	24,150,000	24,290,000	24,430,000	24,570,000	24,710,000	24,850,000	24,990,000	25,130,000	25,270,000	25,410,000	25,550,000	25,690,000	25,830,000	25,970,000	26,110,000	26,250,000	26,390,000	26,530,000	26,670,000	26,810,000	26,950,000	27,090,000	27,230,000	27,370,000	27,510,000	27,650,000	27,790,000	27,930,000	28,070,000	28,210,000	28,350,000	28,490,000	28,630,000	28,770,000	28,910,000	29,050,000	29,190,000	29,330,000	29,470,000	29,610,000	29,750,000	29,890,000	30,030,000	30,170,000	30,310,000	30,450,000	30,590,000	30,730,000	30,870,000	31,010,000	31,150,000	31,290,000	31,430,000	31,570,000	31,710,000	31,850,000	31,990,000	32,130,000	32,270,000	32,410,000	32,550,000	32,690,000	32,830,000	32,970,000	33,110,000	33,250,000	33,390,000	33,530,000	33,670,000	33,810,000	33,950,000	34,090,000	34,230,000	34,370,000	34,510,000	34,650,000	34,790,000	34,930,000	35,070,000	35,210,000	35,350,000	35,490,000	35,630,000	35,770,000	35,910,000	36,050,000	36,190,000	36,330,000	36,4

FIGURE 14